

فرآیندهای نوین در مهندسی مواد

ma.iaumajlesi.ac.ir

تأثیر نانو ذرات آلومینا، تعداد پاس اختلاط و سرعت دوران در رفتار مکانیکی آلیاژ منیزیم AM60 جوش شده به روش اصطکاکی-اغتشاشی

مقاله پژوهشی

آرش بهزادی نژاد^۱، عباس محصل^{۲*}، حمید امیدوار^۳، نادر ستوده^۴

۱- دانشجوی کارشناسی ارشد، گروه مهندسی مواد، دانشکده فنی و مهندسی، دانشگاه یاسوج، یاسوج، ایران.

۲- استادیار، گروه مهندسی مواد، دانشکده فنی و مهندسی، دانشگاه یاسوج، یاسوج، ایران.

۳- دانشیار، دانشکده مهندسی معدن و متالورژی، دانشگاه صنعتی امیرکبیر، تهران، ایران.

۴- دانشیار، گروه مهندسی مواد، دانشکده فنی و مهندسی، دانشگاه یاسوج، یاسوج، ایران.

Mohassell@yu.ac.ir*

چکیده

در پژوهش حاضر رفتار مکانیکی قطعات آلیاژ AM60 جوشکاری شده به روش اصطکاکی اغتشاشی تحت تأثیر تعداد پاس اختلاط و حضور نانو ذرات آلومینا بررسی شد. بررسی های میکروسکوپی نشان داد افزایش سرعت دوران ابزار کار در ناحیه بهم خورده جوش باعث افزایش دما و افزایش کربن و در نتیجه وقوع تبلور مجدد و کاهش اندازه دانه و افزایش بیشتر دما باعث رشد دانه می شود. نتایج به وقوع تبلور مجدد دینامیکی در منطقه اختلاط بافته جوش، وقوع تبلور مجدد ناچار در منطقه متأثر از تغییر شکل پلاستیک و حرارت مجاور منطقه جوش و رشد دانه ها در منطقه متأثر از حرارت جوش دلالت داشت. سرعت دوران ۱۲۰۰ rpm به عنوان سرعت دوران بینهای برای ریزدانگی، سختی و استحکام نهایی کششی استنتاج شد. در حضور نانو ذرات، اندازه دانه ها کاهش یافت اما به دلیل رقبت دو عامل بالا سرعت دوران بینهای تغییر نکرد. در عدم حضور نانو ذرات، افزایش تعداد پاس اختلاط منجر به کاهش اندازه دانه ها شد اما در نمونه های دارای نانو ذرات آلومینا، هر چند که وجود ذرات تقویت کننده منجر به کاهش اندازه دانه ها شد ولی افزایش تعداد پاس اختلاط، پاس اختلاط نداشت. نتایج XRD نشان داد اختلاط مواد در حین عملیات جوشکاری منجر به ترکیب بین فازی آگلومره محسوس در کاهش اندازه دانه ها نداشت. نتایج Mg₁₇Al₁₂ می شود. در نمونه های با نانو ذرات آلومینا نسبت به نمونه های بدون ذرات، در یک سرعت دوران معین، سختی و استحکام بیشتر افزایش یافت. با افزایش سرعت دوران، میزان تنش های برشی در حین عملیات جوشکاری افزایش یافته و منجر به کاهش اندازه ذرات آلومینای آگلومره شده و بهبود چشمگی شد.

Effects of Alumina Nanoparticles, Number of Stirring Pass and Rotational Speed on Mechanical Behavior of Friction Stir Welded (FSW) Magnesium Alloy (AM60)

Arash Behzadineghad¹, Abbas Mohassel^{2*}, Hamid Omidvar³, Nader Setoudeh⁴

1- M.Sc. Student, Department of Materials Engineering, School of Engineering, Yasouj University, Yasouj, Iran.

2- Assistant Professor, Department of Materials Engineering, School of Engineering, Yasouj University, Yasouj, Iran.

3- Associate Professor, School of Mining and Metallurgical Engineering, Amirkabir University of Technology, Tehran, Iran.

4- Associate Professor, Department of Materials Engineering, School of Engineering, Yasouj University, Yasouj, Iran.

* Mohassel@yu.ac.ir

Article Information

Original Research Paper

Dor:

20.1001.1.24233226.1401.16.4.1.4

Keywords:

Friction Stir Welding

AM60 Alloy

Stirring Pass

Rotational Speed

Agglomerated

Abstract

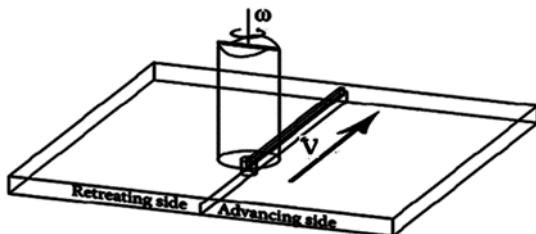
In this study, effects of alumina nanoparticles and stirring pass in mechanical behavior of friction stir welded AM60 magnesium alloy were studied. Microscopic analysis showed occurrence of dynamic recrystallization during plastic deformation in weld area and mechanical tests revealed optimum condition for hardness and tensile strength could be produced in 1200 rpm rotational speed not only in absence of reinforcing alumina nanoparticles but also in presence of them. Opposing effects of higher temperatures in grain growth and greater strains in lowering grain size should be considered. In lacking of alumina nanoparticles, grain size diminished with increasing stirring pass but in being nanoparticles, predominant mechanism in depressing grain size came from nanoparticles and negligible effect of stirring pass in grain size was found. XRD results showed increasing solubility of γ -Mg phase as a result of stirring operation. Better toughness performance of weldment was produced via decreasing size of agglomerated alumina particles. Higher hardness and greater ultimate tensile strength were achieved in specimens with alumina nanoparticle with increasing rotational speed. In a constant rotational speed, higher hardness and greater ultimate tensile strength achieved in samples having alumina nanoparticles in contrast with free alumina nanoparticle samples.

برای ارجاع به این مقاله از عبارت ذیل استفاده نمایید:

Please cite this article using:

Arash Behzadineghad, Abbas Mohassel, Hamid Omidvar, Nader Setoudeh, Effects of Alumina Nanoparticles, Number of Stirring Pass and Rotational Speed on Mechanical Behavior of Friction Stir Welded (FSW) Magnesium Alloy (AM60), New Process in Material Engineering, 2023, 16(4), 1-15.

فرآیندهای جوشکاری حالت جامد از طریق فراهم نشدن امکان رشد دانه عدم تشکیل تخلخل این مشکلات کاهش می‌یابد.



شکل (۱): طرح واره عملیات FSW

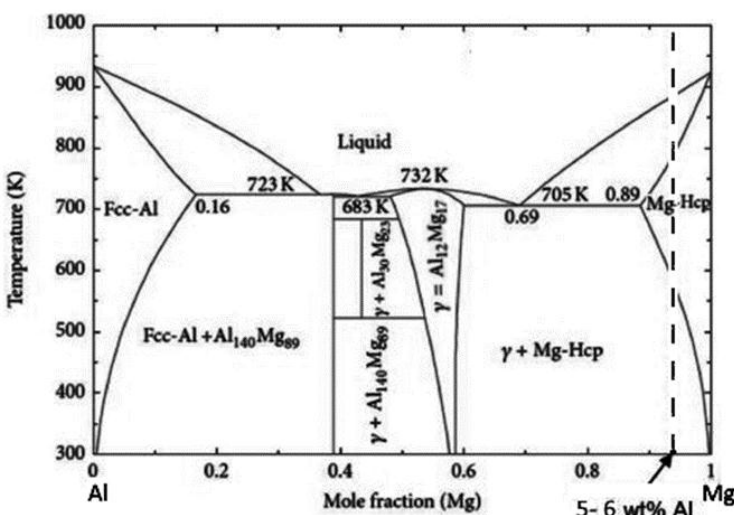
در اکثر مطالعات انجام گرفته در رابطه با قطعات جوشکاری شده به روش اصطکاکی اغتشاشی، به شناسایی عوامل تأثیرگذار بر خواص مکانیکی جوش و به بررسی تأثیر عوامل مختلف مانند تأثیر ترکیب شیمیایی محل اتصال، نقش نانو ذرات تقویت‌کننده غیرآلومینیا، تأثیر امواج آلتراسونیک و اثر دیگر عوامل در عملکرد مکانیکی آلیاژهای زمینه آلومینیوم و یا سایر آلیاژهای منیزیم پرداخته شده است [۸-۵]. در مورد آلیاژهای منیزیم بررسی‌ها کمتر و اکثراً مرتبط با سایر آلیاژهای زمینه منیزیم است [۲ و ۵]. عبداله زاده و همکاران، تأثیر حضور نانو ذرات کاریید سیلیسیم در ناحیه جوش در جلوگیری از حرکت نابجایی‌ها و در نتیجه افزایش استحکام و در کاهش اندازه دانه در منطقه بهم خورده جوش اصطکاکی اغتشاشی آلیاژ منیزیم AZ31 را گزارش کرده است [۵]. تأثیر دوگانگی در ترکیب شیمیایی محل اتصال در جوش غیرهمجنس اصطکاکی اغتشاشی آلیاژهای منیزیم AM60/AZ31 توسط زنگ و همکاران بررسی شده است [۶]. نتیجه بررسی به بزرگتر بودن اندازه دانه‌ها در سمت AM60 اتصال دلالت داشته است. در مطالعه انجام گرفته توسط لکگری و کولان^۳، افت خواص مکانیکی جوش اصطکاکی اغتشاشی آلیاژ آلومینیوم AA7075-T651 به شکل گیری ترک، ریز حفره و حفره‌های کشیده در ناحیه جوش و در فصل مشترک ناحیه بهم خورده جوش و ناحیه متأثر از تغییر شکل و حرارت جوش نسبت داده شده است [۷]. در تحقیق انجام شده توسط بایی و همکاران تأثیر امواج آلتراسونیک

۱- مقدمه

آلیاژ AM60 از آلیاژهای ارزان قیمت منیزیم است که در آن مقدار آلومینیوم و منگنز کم است. امکان تولید آسان، انعطاف‌پذیری بالا و پایین بودن قیمت باعث شده است که این آلیاژ در صنایع اتومبیل‌سازی در تهیه قطعات مختلف شامل صندلی، سر سیلندر و چرخ مورداستفاده گسترده گردد [۱]. عملیات جوشکاری اصطکاکی-اغتشاشی (FSW)، یک روش اتصال حالت جامد است که برای جوشکاری آلیاژهای حساس به دمای بالا مانند آلیاژهای منیزیم و آلومینیوم مناسب و پیشنهاد می‌شود. در این روش از اتصال، به دلیل عدم وقوع ذوب در محل اتصال، شکل‌گیری ترکیبات بین فلزی ترد و شکننده و تنش‌های پسماند به حداقل رسیده و باعث شده است که استفاده صنعتی از این روش در صنایع مختلف مورد توجه قرار گیرد. شکل (۱) طرح واره عملیات جوشکاری اصطکاکی-اغتشاشی را نشان می‌دهد. در این شکل جهت دوران ابزار با نماد ۰ و جهت پیشروی ابزار با نماد V نشان داده شده است و بر اساس آن در دو سمت نمونه جوش سمت‌های پیش رو^۱ و پس رو^۲ تعیین می‌گردد. در عملیات جوشکاری اصطکاکی-اغتشاشی، حرکت پیچشی مواد همراه با حرکت طولی ابزار همزن باعث افزایش دما و سیلان ماده در منطقه بهم خورده جوش می‌شود. گرمای تولید شده و سیلان ماده در منطقه جوش دو عامل اصلی مؤثر در ریزساختار قطعه و سرعت طولی و سرعت دوران دو متغیر مؤثر بر خواص نهایی قطعات مورد جوش هستند [۴-۲]. با افزایش سرعت طولی ابزار کار، گرمای تولید شده در اثر اصطکاک ابزار با قطع کار کاهش یافته و در نتیجه باعث کاهش دما در منطقه جوش می‌شود [۳]. سرعت دوران برخلاف سرعت خطی عمل می‌کند به عبارت دیگر با افزایش سرعت دوران ابزار، سرعت تولید گرمای در منطقه جوش افزایش یافته و این موضوع منجر به افزایش اندازه دانه در منطقه جوش می‌شود [۴]. از محدودیت‌های مطرح در فرآیندهای جوشکاری ذوبی مشکل تأمین خواص مکانیکی در منطقه جوش مشابه با فلزات پایه است که در

انجام گرفته در تأثیر نانو ذرات آلومینیا بر رفتار مکانیکی جوش اصطکاکی اغتشاشی این آلیاز و با توجه به اینکه عمدۀ پژوهش‌های انجام شده تأثیر تکرار پاس و تکرار تعداد دفعات انجام فرآیند را صرفاً در فرآیند اصطکاکی اغتشاشی و مورد بررسی قرار داده است و برای فرآیند جوشکاری اصطکاکی اغتشاشی مورد مطالعه قرار نگرفته است، هدف از این پژوهش، تعیین مقدار بهینه متغیرهای تأثیرگذار در عملیات جوشکاری، از طریق تغییر سرعت دوران ابزار کار و تکرار دفعات انجام عملیات جوش با توجه به امکانات سخت‌افزاری موجود و بررسی نقش نانو ذرات آلومینیا در بهبود خواص مکانیکی قطعات جوشکاری شده است.

در کاهش ضخامت لایه بین فلزی فاز گاما در بهبود استحکام کششی نهایی و افزایش بازده جوش غیرهمجنس AZ31B AA6.61 و T6- آلیاز‌های نتیجه گرفته شده است [۸]. در فرآیند اصطکاکی اغتشاشی^۴ (FSP)، با افزایش تعداد پاس فرآوری و به عبارت دیگر با افزایش تعداد دفعات تکرار عمل، وقوع تغییر شکل پلاستیک مجدد در سطح قطعه اتفاق افتاده که نتیجه آن کاهش اندازه دانه و ارتقاء عملکرد مکانیکی سطح و از آن جمله بهبود سختی و مقاومت سایشی در سطح قطعات فرآوری شده است [۹]. با توجه به محدودیت پژوهش‌های انجام شده در ارتباط با جوشکاری اصطکاکی اغتشاشی آلیاز منیزیم AM60 و با توجه به عدم مطالعات

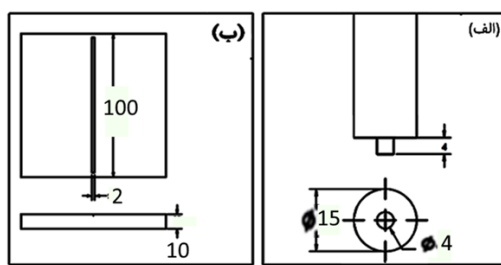


شکل (۲): نمودار فازی دوتایی Al-Mg [۱۳]

ارائه می‌دهد [۱۴]. از فولاد گرم کار H 13 به عنوان ابزار سنبه‌ای موردنیاز در عملیات جوشکاری استفاده شد تا توانایی لازم برای حفظ سختی در دمای بالا و انجام کار بر روی قطعات کار در دمای بالا را داشته باشد. ترکیب شیمیایی اسمی این آلیاز در جدول (۲) ارائه شده است [۱۵]. از این فولاد، ابزار سنبه‌ای تهیه و تراشکاری شد. شکل (۳-الف) طرح و ابعاد این ابزار را نشان می‌دهد. روی این ابزار، رزووهایی با گام ۱/۵ میلی‌متر اجرا و سپس تحت عملیات حرارتی شامل تنش‌گیری در دمای ۶۰۰ الی ۶۵۰ درجه سانتی‌گراد، سه مرحله سخت‌کاری در دمای حداقل

۲- مواد و روش تحقیق

آلیازی است عملیات حرارتی پذیر با قابلیت دایکست که در اکثر موارد به صورت ریختگی مورد استفاده قرار می‌گیرد و از ورق‌های نوری آن کمتر استفاده می‌شود. نمونه‌های مورد استفاده در این پژوهش نیز از قطعات ریختگی و عاری از هرگونه تاریخچه قبلی کارسختی تهیه شدند. از آلیاز ریخته شده AM60 قطعاتی در ابعاد ۱۰*۵*۰/۶ سانتی‌متر مکعب برش داده شد. شکل (۲) موقعیت این آلیاز را در نمودار فازی دوتایی Mg-Al نشان داده [۱۳] و جدول (۱) آنالیز شیمیایی اسمی این قطعات را



شکل (۳): (الف) ابزار سبه مورد استفاده در عملیات FSW (ابعاد به mm) و (ب) موقعیت شیار ایجاد شده در قطعات کار در قبل از عملیات FSW (ابعاد به mm)

مطالعات ریزاساختاری بر روی نمونه‌هایی برش داده شده از قطعات جوش FSW شامل مناطق بهم خورده تغییر شکل پلاستیک یافته در مرکز جوش (SZ)، متأثر از تغییر شکل و حرارت (TMAZ) و متأثر از حرارت جوشکاری (HAZ) و فلز پایه (BM) بر مبنای استاندارد ASTM E407 انجام شد. موقعیت نسبی این مناطق در شکل (۴) نشان داده شده است. پس از سنباده‌زنی تا سنباده ۳۰۰۰ و پولیش توسط خمیر الماسه عملیات حکاکی به کمک استفاده از محلول حکاکی^۵ با ترکیب شیمیایی ۱۰ mL استیک اسید، ۶gr اسید پیکریک و ۱۰۰ mL اتانول انجام شد.

مطالعات میکروسکوپی با استفاده از میکروسکوپ نوری 3 Leitz Metallux و آنالیز تصاویر با استفاده از نرم‌افزار MIP انجام گرفت. اندازه‌گیری اندازه دانه‌ها به روش مساحت سنجی^۶ بر اساس استاندارد ASTM E112 انجام شد. بررسی‌های ریزاساختاری تعیین اندازه و توزیع اندازه دانه‌ها و شناسایی ترکیب شیمیایی فازها از طریق آنالیز EDS و تائید شکل گیری بافت کریستالی و شناسایی فازهای موجود از طریق آنالیز XRD انجام شد. نمونه‌های حاوی نانو ذرات آلومینا پس از پوشش دهی با روکش طلا با میکروسکوپ الکترونی روبشی مورد مطالعه قرار گرفتند. آنالیز شیمیایی و ارزیابی ریزاساختار نمونه‌های FSW دارای نانو ذرات آلومینا به کمک استفاده از میکروسکوپ الکترونی مدل VEGA TESCAN-XMU مجهر به طیف‌سنج EDS و با استفاده از میکروسکوپ FE-SEM مدل MIRA3 TESCAN-XMU انجام شد. ریزساختی نمونه‌های جوشکاری FSW حاوی نانو ذرات تقویت کننده و نمونه‌های بدون ذرات تقویت کننده بر اساس استاندارد

۱۰۸۰°C و سه مرحله عملیات بازگشت در دمای ۲۵۰ الی ۳۵۰ درجه سانتی‌گراد قرار گرفت تا به سختی موردنیاز HRC ۵۲ برسد [۱۶]. در حالت وجود نانو ذرات تقویت کننده در منطقه جوش، برای انجام عملیات جوشکاری اصطکاکی-اغتشاشی (FSW) بر روی قطعات کار، از پودر نانو اندازه آلومینا شرکت Shenzhen Nanotech Port Co. Ltd. متوسط اندازه دانه ۲۰ نانومتر و با خلوص ۹۹٪ برای انجام هر پاس اختلاط جوش اصطکاکی-اغتشاشی از ماشین فرز مدل EP4ME ساخت شرکت ماشین‌سازی تبریز استفاده شد. به‌منظور تعییه پودر نانو اندازه آلومینا در درون قطعات کار در ۶ قطعه از قطعات کار، شیارهایی ماشین کاری شد. شکل (۳- ب) مکان این شیارها را در قطعات کار نشان می‌دهد. پس از ایجاد شیار در قطعات کار و فشرده‌سازی پودرهای آلومینا در درون آن، برای بستن شیارها از ابزار بدون پین استفاده شد. جوشکاری اصطکاکی-اغتشاشی هم بر روی نمونه‌های بدون نانو ذرات تقویت کننده و هم بر روی نمونه‌های شیاردار حاوی نانو ذرات آلومینا، با تغییر تعداد پاس اختلاط از ۱ تا ۳ پاس و در سرعت دوران ۱۰۰۰rpm، ۱۲۰۰ rpm و ۱۴۰۰ rpm با سرعت خطی ۲۵ mm/min انجام شد. زاویه ابزار کار نسبت به خط عمود ۰/۳ mm و میزان فرورفتگی شانه ابزار در سطح قطعه کار ۲° اجرا شد.

جدول (۱): ترکیب شیمیایی اسمی آلیاز AM60 که در این پژوهش استفاده شده است [۱۴].

Mg	Fe	Mn	Al	عنصر
Bal.	<۰.۰۰۴	۰.۲۶-۰/۵۰	۴/۶-۶/۵	درصد وزنی

جدول (۲): ترکیب شیمیایی اسمی فولاد گرم کار H13 که در این پژوهش به عنوان ابزار سبه استفاده شده است [۱۵].

Fe	V	Si	Mo	Mn	Cr	C	عنصر
Bal.	۱/۲	۱	۱/۵	۰/۵	۵/۵	۰/۵۴	درصد وزنی

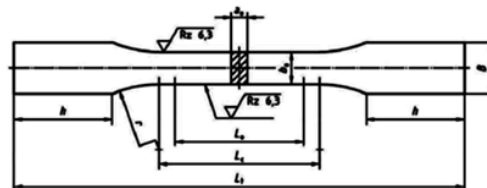
۳- نتایج و بحث

جوشکاری اصطکاکی- اغتشاشی نمونه‌های AM60 در شرایط بدون ذرات تقویت‌کننده آلومینیا با سرعت خطی ۲۵ mm/min، سرعت‌های دوران ۱۰۰۰ rpm، ۱۴۰۰ rpm و ۱۶۰۰ rpm و با تغییر تعداد پاس اختلاط جوش (به عبارت دیگر با تکرار تعداد دفعات فرایند) انجام شد. با افزایش سرعت دوران، کرنش اعمالی و گرمای حاصل از اصطکاک ابزار با قطعه کار افزایش می‌یابد. افزایش کرنش اعمالی باعث ریز شدن دانه‌ها می‌شود اما گرمای حاصل از اصطکاک باعث افزایش دما می‌شود. این افزایش دما، می‌تواند باعث رشد دانه‌ها شود. تأثیر افزایش تعداد پاس اختلاط از ۱ به ۲ و سپس به ۳ در طی عملیات FSW بررسی شد. شکل (۶) تغییرات ایجاد شده در شکل ظاهري جوش‌های اصطکاکی- اغتشاشی در سرعت خطی mm/min ۲۵ و سرعت‌های دوران ۱۰۰۰ rpm و ۱۴۰۰ rpm با افزایش تعداد پاس اختلاط از ۱ به ۳ را نشان می‌دهد که به امکان برقراری اتصال و سلامت ظاهری جوش‌های انجام شده در سرعت‌های دوران اشاره شده دلالت دارد. شکل (۷) تصویر میکروسکوپ نوری فلز پایه را در بزرگنمایی‌های ۸۰۰ و ۴۵۰۰ نشان می‌دهد. در شکل (۷-الف)، فاز روشن که با حرف A مشخص شده است، فاز زمینه است که با توجه به نمودار فازی Al-Mg نشان داده شده در شکل (۲) به علت حلالیت کم آلومینیم در منیزیم، مقدار آلومینیم آن کم و فاز α -Mg نام دارد. در شکل (۷-ب)، فاز تیره که با حرف B مشخص شده و نسبت به فاز زمینه، از درصد حجمی کم برخوردار است فاز یوتکنیک است که طبق نمودار فازی نشان داده شده در شکل (۲) در دمای 432°C تشکیل می‌شود. در منطقه C حضور رسوب ثانویه که می‌تواند فاز ۷ با ترکیب شیمیایی $\text{Mg}_{17}\text{Al}_{12}$ باشد، قابل مشاهده است. در پژوهشی دیگر نیز حضور فازها و مخلوط فازی اشاره شده در بالا در آلیاز نیز حضور فازها و مخلوط فازی اشاره شده در بالا در آلیاز AM60 گزارش شده است [۱۷].

ASTM E384 با بار اعمالی ۲۰۰ gf در زمان اعمال بار ۱۰ ثانیه اندازه گیری شد. برای اندازه گیری ریزسختی، از سختی MXT70 مدل MATSUZAWA استفاده شد. بر مبنای استاندارد STM E8، برای تعیین استحکام نهایی کششی اتصالات جوشکاری شده، مطابق شکل (۵)، نمونه‌های آزمون کشش در جهت عرض جوش توسط دستگاه واپرکات تهیه شدند. آزمون کشش تک محوری توسط دستگاه یونیورسال ۵۰ تن مدل AL-7000LA ساخت شرکت GoTech Testing Machines نمونه‌های جوش بر مبنای جدول (۳) نام‌گذاری و بر مبنای سطح زیر منحنی تنش-کرنش، چقرمگی در حالت حضور و عدم حضور نانو ذرات آلومینیا در فلز جوش تعیین گردید.



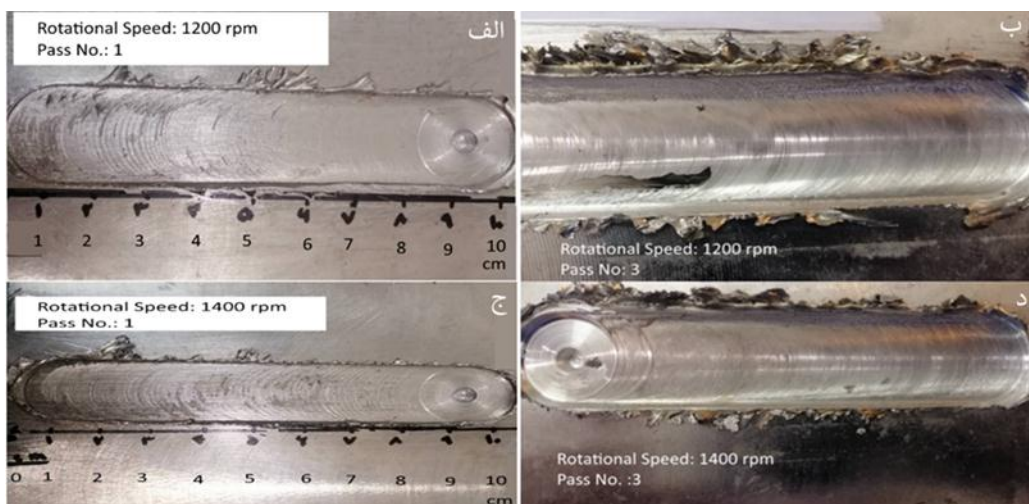
شکل (۶): موقعیت نسبی مناطق بهم خورد جوش (SZ)، مناطق متأثر از کار مکانیکی و حرارت (TMAZ)، مناطق متأثر از حرارت (BM) و فلز اولیه (HAZ).



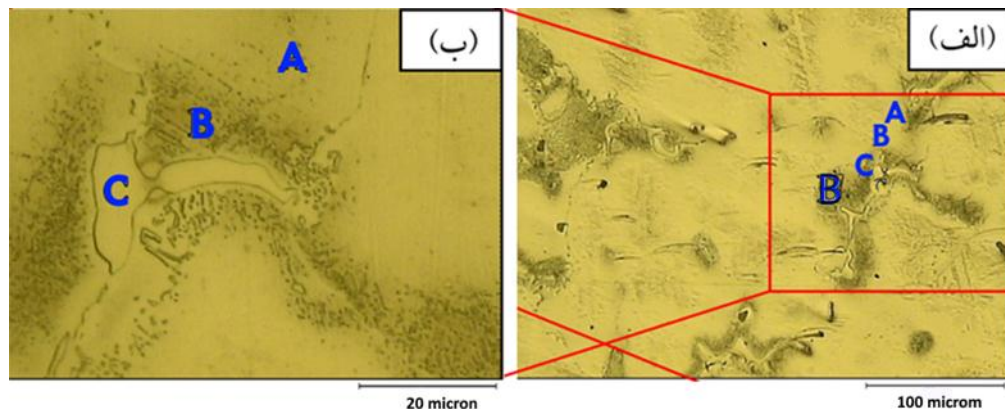
شکل (۷): شماتیک نمونه کششی تهیه شده از قطعات جوشکاری شده.

جدول (۳): مشخصات نمونه‌های جوشکاری شده و چگونگی نام‌گذاری آنها.

کد نام‌گذاری	تعداد پاس اختلاط	سرعت دوران ابزار کار (rpm)	مشخصات نمونه
3P-1000	۳	۱۰۰۰	بدون نانو ذرات آلومینیا
3P-1200	۳	۱۲۰۰	آلومینیا
3P-1400	۳	۱۴۰۰	
C-3P-1000	۳	۱۰۰۰	حاوی نانو ذرات آلومینیا
C-3P-1200	۳	۱۲۰۰	
C-3P-1400	۳	۱۴۰۰	



شکل (۶): تغییرات ایجاد شده در شکل ظاهری جوش اصطکاکی - اغتشاشی: (الف) در سرعت دوران ۱۲۰۰ rpm و تعداد پاس اختلاط ۱، (ب) در سرعت دوران ۱۲۰۰ rpm و تعداد پاس اختلاط ۳، (ج) در سرعت دوران ۱۴۰۰ rpm و تعداد پاس اختلاط ۱ و (د) در سرعت دوران ۱۲۰۰ rpm و تعداد پاس اختلاط ۳.



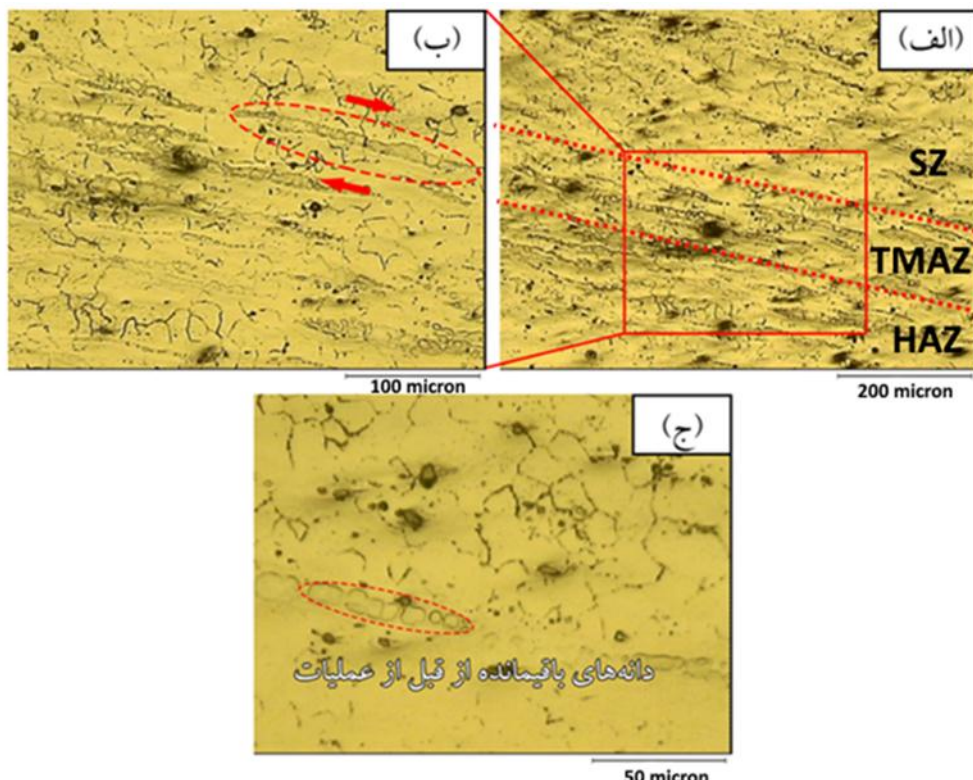
شکل (۷): تصویر میکروسکوپ نوری از فلز زمینه در قبل از جوشکاری در بزرگنمایی: (الف) ۴۵۰۰ و (ب) ۸۰۰.

آلیاژی حل شده در فاز زمینه است که اغلب با افزایش میزان مواد حل شده در زمینه، مقدار SFE بیشتر می شود [۱۹]. شکل ۸-الف تصویر ناحیه TMAZ-AS را در بزرگنمایی ۴۰۰ نشان می دهد که وجود ناممکنی در تعدادی از دانه ها مشاهده می شود. در پس زمینه تصویر، شکل گیری دانه های ریز تبلور مجدد یافته مشاهده می شود که با توجه به وجود میدان شدید تنش و کرنش در ناحیه SZ و شکل گیری دانسته بالایی از نابجایی ها و گرمای ناشی از اصطکاک افشار کار با قطعه، شکل گیری دانه های هم محور تبلور مجدد یافته قابل انتظار است. همچنین شکل گیری تعداد محدودی از دانه های کشیده شده که تبلور مجدد نشده اند، از خصوصیات حاکم در این ناحیه است [۱۸]. در فرآیند تبلور مجدد، تنش اعمالی ابتدا باعث

شکل (۸) تصویر میکروسکوپ نوری از سمت پیش رو منطقه متأثر از حرارت و تنش (TMAZ-AS) برای نمونه 3P-1200 مطابق با نام گذاری جدول (۳) در بزرگنمایی های TMAZ مختلف ارائه شده است. از خصوصیات مناطق TMAZ وقوع تبلور مجدد به میزان جزئی است که بر اثر شرایط تنش و گرمای شدید در مجاورت منطقه SZ رخ می دهد [۱۸]. مقدار تبلور مجدد در منطقه TMAZ به میزان انرژی نقص در چیدن^۷ (SFE) بستگی دارد [۱۹]. هرچه میزان SFE کمتر باشد، توانایی نابجایی ها برای لغزش و جابجایی کمتر می شود در نتیجه باعث کاهش شکل پذیری مواد فلزی می شود [۱۹]. همچنین افزایش میزان عناصر آلیاژی بین نشین و جانشین باعث کاهش رخداد فرآیند تبلور مجدد می شود. زیرا یکی از عوامل مؤثر بر SFE، میزان مواد

بنابراین در حالت کلی می‌توان گفت که جهت تنفس برشی در جهت کشیدگی دانه‌ها و در جهت فلش‌های نشان داده شده در شکل (۸-ب) است. شکل (۸-ج) تصویر دانه‌های کشیده شده در این منطقه را در بزرگنمایی ووضوح بیشتر نشان می‌دهد.

تغییر شکل دانه‌ها و در ادامه با افزایش دهی دانسیتِ نابجایی‌ها در دانه‌های موجود، باعث ایجاد دانه‌های جدید و ریز می‌شود. شکل (۸-ب) تصویر شکل (۸-الف) را در بزرگنمایی ۸۰۰ نشان می‌دهد. بر اساس مشاهدات پیشین جهت کشیدگی دانه‌های درشت تبلور مجدد نیافته در جهت تنفس برشی اعمالی در حین عملیات FSW است [۱۷]



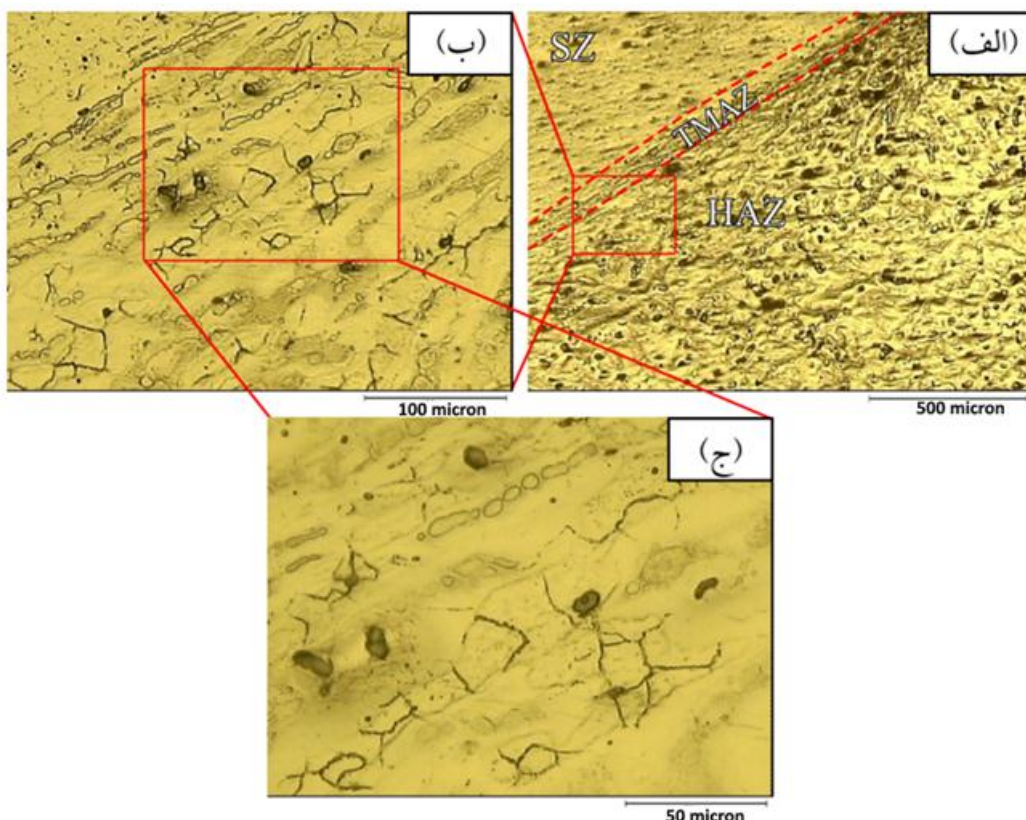
شکل (۸): تصویر میکروسکوپ نوری از منطقه TMAZ-AS برای نمونه 3P-1200 در بزرگنمایی: (الف) ۴۰۰، (ب) ۸۰۰ و (ج) ۱۶۰۰. (نام گذاری نمونه‌ها برای اساس جدول (۳) است).

در مناطق TMAZ را نشان می‌دهد. [۱۷]. شکل (۹-ج) دانه‌های کشیده شده این منطقه را در بزرگنمایی و با وضوح بیشتر در کنار دانه‌های هم محور نمایش می‌دهد. دلیل اصلی تفاوت بین مناطق پیشرو و پسرو تشکیل شده در اطراف جوش، میزان گرمای تولیدی در هریک از این مناطق است. در سمت پیشرو جوش به سبب همسویی جهت دوران ابزار کار با جهت جوشکاری، گرمای تولیدی چشمگیرتر از سمت پسرو جوش است [۲۰]. این گرمای اضافی تولیدی شده، باعث نرمی بیشتر ماده در سمت پیشرو جوش می‌شود و در نتیجه در این ناحیه، منطقه وسیع‌تری تحت تأثیر دما و

شکل (۹) تصویر میکروسکوپ نوری از سمت پسرو منطقه متأثر از حرارت و تنفس (TMAZ-RS) را برای نمونه 3P-1200 (نام گذاری نمونه در جدول ۳) در بزرگنمایی‌های مختلف نشان می‌دهد. در شکل (۹-الف)، دیده می‌شود که در سمت پسرو نسبت به سمت پیشرو جوش، فاصله بین مناطق SZ و HAZ که همان منطقه TMAZ است، کمتر شده است. این فاصله در شکل (۹-الف) با خطچین مشخص شده است. در شکل (۹-ب) همانند سمت پیشرو جوش در شکل (۸)، دانه‌های کشیده در کنار دانه‌های هم محور مشاهده می‌شود که وقوع پدیده تبلور مجدد ناقص

تعدادی از محققین، کم بودن وسعت ناحیه پس رو نسبت به پیشرو باعث ناهمگونی بافت در منطقه TMAZ-RS و باعث ترک خوردن نمونه‌های آزمون کشش از این منطقه می‌شود [۲۱]. در جدول (۴)، نتایج اندازه‌گیری‌های انجام شده در تعیین میانگین اندازه دانه برای نمونه‌های بدون نانو ذرات تقویت‌کننده آلومینا و برای نمونه‌های دارای نانو ذرات تقویت‌کننده آلومینا ارائه شده است.

تنش (TMAZ) قرار می‌گیرد. از طرف دیگر به دلیل افزایش دما در این منطقه، پدیده تبلور مجدد رخ می‌دهد. بررسی‌های EBSD انجام گرفته توسط دیگر محققان نیز نشان می‌دهد در سمت پیشرو جوش تغییر بافت کریستالی تدریجی و با شیب کمتر است [۲۱] که علت آن عریض‌تر بودن اندازه منطقه TMAZ در سمت پیشرو به نسبت منطقه TMAZ در سمت پس رو جوش است [۲۱]. به اعتقاد



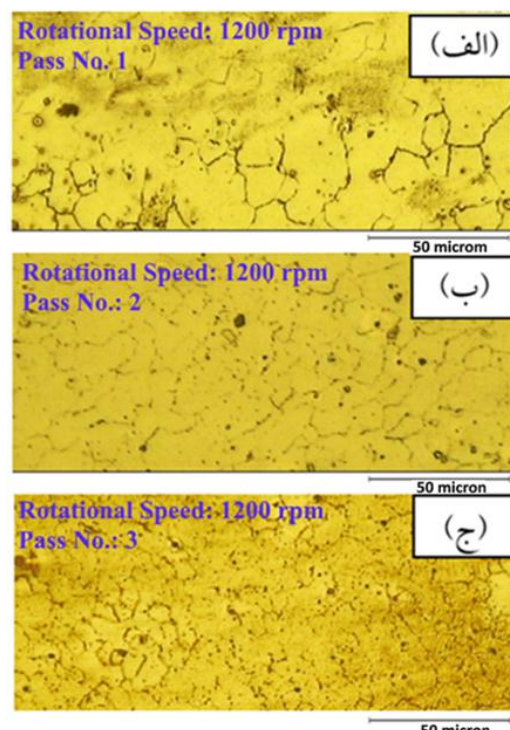
شکل (۹): تصویر میکروسکوپ نوری از منطقه TMAZ-RS نمونه 3P-1200 در بزرگنمایی: (الف) ۴۰۰، (ب) ۸۰۰ و (ج) ۱۶۰۰. (نام‌گذاری نمونه‌ها برای اساس جدول (۳) است).

تولید ساختار ریزدانه با دانه‌های تقریباً هم محور و همان‌دازه به همراه دانستیه بالا از مرزهای پر زاویه در هر پاس جوش شود که در مراجع نیز به این مورد اشاره شده است [۱۳]. شکل (۱۱) تصویر FE-SEM نمونه‌های تقویت شده با نانو ذرات آلومینا در سرعت‌های دوران rpm، ۱۰۰۰ rpm، ۱۲۰۰ rpm و ۱۴۰۰ rpm را نشان می‌دهد که بر پراکندگی تقریباً یکنواخت ذرات آلومینایی در زمینه دلالت دارد. همان‌طور که ملاحظه می‌شود با افزایش سرعت دوران، به علت

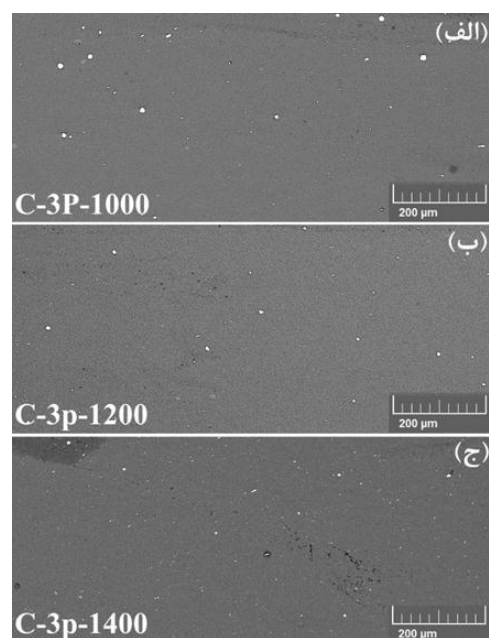
شکل (۱۰) تصویر میکروسکوپ نوری ناحیه SZ نمونه‌های بدون نانو ذرات آلومینا در تعداد پاس اختلاط ۱ تا ۳ پاس و در سرعت دوران rpm ۱۲۰۰ را در بزرگنمایی ۴۰۰ نشان می‌دهد. دیده می‌شود که با افزایش تعداد پاس اختلاط اندازه دانه‌ها کاهش یافته است. وقوع رخداد تبلور مجدد دینامیکی است که در طی فرآیند جوشکاری FSW، به دلیل اعمال کرنش شدید در اثر دوران ابزار کار، تبلور مجدد دینامیکی اتفاق می‌افتد. این پدیده می‌تواند باعث

شکل (۱۲) الگوی XRD آلیاز اولیه و به عبارت دیگر نمونه اولیه جوشکاری نشده را در کنار الگوی XRD نمونه ۳p-۳ مشخصات نمونه در جدول ۳ آمده است) نشان می‌دهد. فازهای α -Mg، (محلول جامد اشباع آلومینیم در منیزیم) و γ -Mg (با ترکیب شیمیایی $Mg_{17}Al_{12}$) در نمونه خام اولیه و در نمونه FSW شده شناسایی شده است. آلیاز اولیه شامل فازهای α -Mg، γ -Mg و محلول یوتکتیک این دو فاز است. در نمونه بدون عملیات FSW در زوایای حدود ۵۷/۶، ۶۹ و ۸۲ درجه، تعدادی از پیک‌های فاز γ -Mg مشاهده می‌شود که در اثر اعمال سه پاس اختلاط جوش تنها دو پیک از پیک‌های γ -Mg در زوایای ۵۷/۶ و ۶۷/۷ حذف و شدت پیک‌های باقیمانده کاهش یافته است که حذف و کاهش شدت پیک‌های مربوط به ترکیب بین فلزی γ -Mg در نمونه‌های عملیات FSW شده می‌تواند به دلیل اعمال تنش و کرنش برشی شدید در هنگام فرآیند FSW و همچنین پدیده انحلال دینامیکی این فاز در فاز زمینه باشد. همچنین مشاهده می‌شود در آلیاز اولیه جوشکاری نشده، نسبت شدت پیک (۱۰۱) به (۱۰۰) برابر با ۷۳ است. انجام عملیات FSW باعث تغییر شکل سطح نمونه می‌شود. مقایسه بین نسبت شدت پیک (۱۰۱) به شدت پیک (۱۰۰) در قبل و در بعد از عملیات FSW نشان می‌دهد که این نسبت پس از عملیات FSW افزایش یافش از ۹ برابر داشته است لذا می‌توان گفت که پس از انجام عملیات شدت بافت صفحه (۱۰۱) در سطح افزایش قابل توجه داشته است که علت آن می‌تواند غالب شدن سیستم لغزش مربوط به صفحه لغزش (۱۰۱) در طی عملیات تغییر شکل باشد. تحلیل مشابه توسط دیگر پژوهشگران نیز بیان شده است [۲۲]. بنابراین به واسطه عملیات FSW می‌تواند امکان شکل‌گیری جهت‌گیری ترجیحی و بافت دانه‌ای در مناطق مختلف جوش نیز مطرح گردد. منطبق با نتایج مشاهدات حاصل از ذرات آگلومره شده آلومینیمی موجود در شکل (۱۱)، اندازه‌گیری قطر متوسط ذرات آگلومره شده نشان داد که با افزایش سرعت دوران ابزار کار، اندازه ذرات آگلومره شده آلومینا کاهش می‌یابد. علت این رفتار می‌تواند ناشی از

افزایش تنش‌های برشی ناشی از فرآیند، اندازه ذرات آگلومره شده آلومینیمی نیز کاهش یافته‌اند.



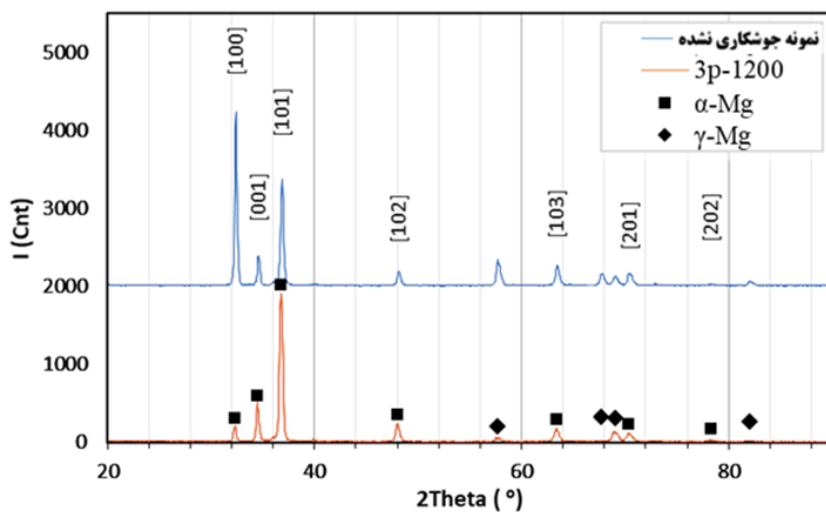
شکل (۱۰): تصویر میکروسکوپ نوری منطقه SZ نمونه‌های بدون نانو ذرات آلومینا در سرعت دوران rpm ۱۲۰۰ در بزرگنمایی ۴۰۰ و در تعداد پاس اختلاط: (الف) ۱ پاس، (ب) ۲ پاس و (ج) ۳ پاس.



شکل (۱۱): تصویر FE-SEM از نمونه‌های دارای نانو ذرات آلومینا پس از ۳ پاس اختلاط تولید شده در سرعت دوران: (الف) ۱۰۰۰ rpm، (ب) ۱۲۰۰ rpm و (ج) ۱۴۰۰ rpm.

شده آلومینا در طی فرآیند FSW باشد.

اعمال تنش های برشی شدید به ماده و به ذرات آگلومره

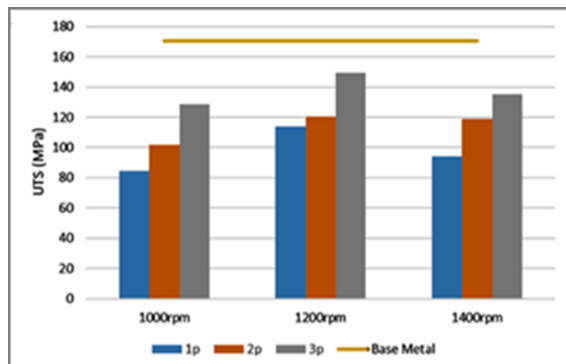


شکل (۱۲): الگوی پراش پرتوی X نمونه 3p-1200 در مقایسه با الگوی پراش پرتوی X نمونه جوشکاری نشده اولیه.

سختی در سرعت دوران ۱۴۰۰ rpm نسبت به سرعت دوران ۱۰۰۰ rpm نیز مشاهده شد و این مورد را هم می‌توان به ریزتر بودن اندازه دانه‌ها و نقش ذرات در ممانعت از حرکت نابجایی‌ها در این سرعت دوران نسبت به سرعت دوران ۱۰۰۰ rpm نسبت داد. با مقایسه میانگین سختی در نمونه‌های دارای ذرات تقویت‌کننده نسبت به نمونه‌های بدون ذرات تقویت‌کننده ارائه شده در شکل (۱۳) و با توجه به ریزتر شدن اندازه دانه‌ها در نمونه‌های با نانو ذرات تقویت‌کننده نسبت به نمونه‌های بدون نانو ذرات تقویت‌کننده مطابق با نتایج جدول (۴) و با توجه به نقش ذرات در ممانعت از حرکت نابجایی‌ها می‌توان نتیجه گرفت که علاوه بر کاهش اندازه دانه عامل دیگری باعث افزایش سختی شده است. از بین عوامل پیشنهادی توسط بردهور و همکاران [۲۴]، پس از افروزدن نانو ذرات آلومینا به زمینه، تنها عامل "استحکام بخشی از طریق ذرات" تغییر کرده است. در این حالت نانو ذرات تقویت‌کننده آلومینا به دلیل اندازه بسیار ریز که دارند در مسیر حرکت نابجایی قرار گرفته و مانع حرکت نابجایی‌ها و درنتیجه مانع رخداد پدیده لغش و به عبارت دیگر مانع تغییر شکل پلاستیک می‌شوند. این استدلال منطبق بر نتایج بررسی‌های دیگر پژوهشگران است [۲۴].

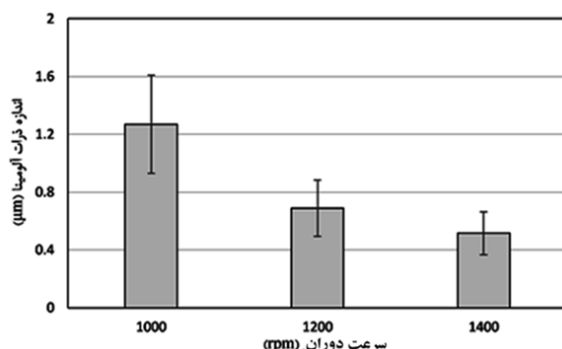
چنین رفتار و تحلیل توسط دیگر محققان نیز گزارش شده است [۲۳]. شکل (۱۳) نتایج این بررسی را نشان می‌دهد. همان‌طور که از این شکل دریافت می‌شود در طی عملیات FSW به دلیل اعمال تنش‌های برشی شدید، ذرات آگلومره شده آلومینا خرد شده و در سرعت‌های دوران ۱۲۰۰ rpm و ۱۴۰۰ rpm نسبت به سرعت دوران ۱۰۰۰ rpm به ترتیب ۴۶٪ و ۵۹٪ ریزتر شده‌اند. شکل (۱۴) میانگین اندازه‌گیری سختی از ۳ نقطه در منطقه SZ در نمونه‌های با ذرات تقویت‌کننده و بدون ذرات تقویت‌کننده در سرعت‌های دوران مختلف را نشان می‌دهد. همان‌طور که مشاهده می‌شود سرعت دوران ۱۲۰۰ rpm یک سرعت دوران بهینه برای سختی در منطقه SZ است. با توجه به ریزتر شدن اندازه دانه‌ها مطابق با نتایج جدول (۴)، مقدار سختی در این سرعت دوران بیشتر شده است. در نمونه‌های حاوی ذرات تقویت‌کننده نیز حداکثر سختی در نمونه ۱۲۰۰ rpm مشاهده می‌شود که این افزایش سختی می‌تواند قسمتی به دلیل ریز شدن اندازه دانه‌ها نسبت به دیگر سرعت‌های دوران و مقداری ناشی از نقش ذرات در ممانعت از حرکت نابجایی‌ها باشد. افزایش سختی با کاهش اندازه دانه و یا در حضور ذرات سرامیکی تقویت‌کننده سختی در دیگر منابع نیز گزارش شده است [۱، ۲۴]. بالاتر بودن میانگین اندازه

دوران ۱۴۰۰ rpm این مقدار کاهش می‌یابد. با توجه به این نتایج، می‌توان مقدار بهینه سرعت دوران را در نمونه‌های بدون ذرات تقویت کننده برای این جوشکاری اصطکاکی-اعتشاشی خاص ۱۲۰۰ rpm اعلام نمود.

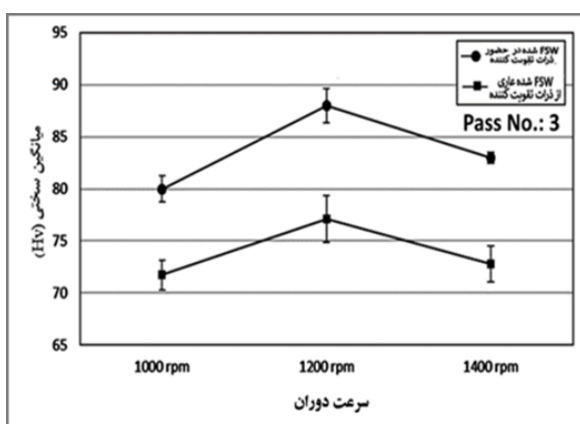


شکل (۱۵): تغییرات استحکام نهایی نمونه‌های بدون ذرات تقویت کننده آلومینا در سرعت‌های دوران ابزار ۱۰۰۰ rpm ۱۲۰۰ rpm ۱۴۰۰ rpm و در تعداد پاس احتلاط ۱ تا ۳ پاس.

برمبنای یافته‌های به دست آمده در شکل (۱۰) در رابطه با کاهش اندازه دانه با افزایش تعداد پاس احتلاط، علت افزایش استحکام در سرعت دوران ۱۲۰۰ rpm را می‌توان به ریز شدن اندازه دانه‌ها ارتباط داد. در بررسی‌های انجام شده توسط دیگر پژوهشگران هم استدلال‌های مشابه گزارش شده است [۲۵، ۲۶]. انتظار است با افزایش تعداد پاس احتلاط و کاهش اندازه دانه‌ها، استحکام اتصالات جوشکاری بهبود یابد. در نمونه‌های حاوی ذرات تقویت کننده آلومینا نسبت به نمونه‌های بدون ذرات تقویت کننده، افزایش تعداد پاس احتلاط اثر چندانی بر اندازه دانه‌ها در منطقه SZ نداشت. در مورد این نمونه‌ها، افزایش استحکام کششی نهایی را می‌توان به نقش نانو ذرات تقویت کننده آلومینا در ریز سازی دانه‌ها و در قفل سازی نابجایی‌ها ارتباط داد. با توجه به شکست اتصالات جوشکاری از ناحیه TMAZ، ریزساختار این منطقه عامل بسیار مهم در تغییر استحکام اتصالات است. بر اساس مقاولات انتشار یافته، وجود تفاوت در بافت کریستالی بین دو منطقه TMAZ و SZ و در نتیجه به واسطه آن وجود تفاوت در فاکتور اشمید بین دو منطقه SZ و TMAZ مشهود به عنوان یکی از دلایل شکست در اتصالات FSW شده از



شکل (۱۳): تغییرات اندازه ذرات تقویت کننده آلومینا در منطقه SZ با سرعت دوران ابزار کار.



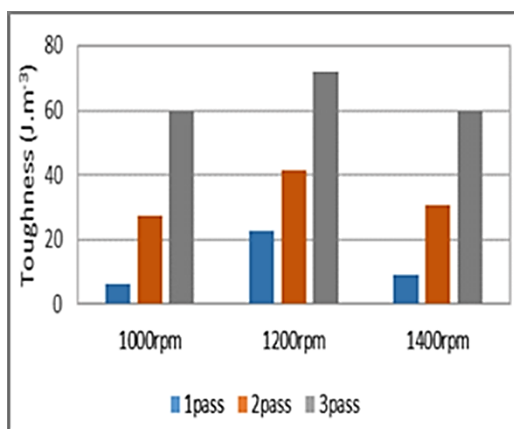
شکل (۱۴): تغییرات میانگین سختی در منطقه SZ با تغییر سرعت دوران ابزار کار پس از ۳ پاس عملیات FSW در نمونه‌های با و بدون ذرات تقویت کننده آلومینا.

جدول (۴): میانگین اندازه دانه در نمونه‌های بدون نانو ذرات آلومینا و در نمونه‌های دارای نانو ذرات آلومینا.

میانگین اندازه دانه (میکرون)	تعداد پاس احتلاط	شرط نمونه
۷/۴	۳	بدون نانو ذرات آلومینا
		سرعت دوران ابزار کار (rpm) ۱۰۰۰
		سرعت دوران ابزار کار (rpm) ۱۲۰۰
		سرعت دوران ابزار کار (rpm) ۱۴۰۰
۲/۱	۳	با نانو ذرات آلومینا
		سرعت دوران ابزار کار (rpm) ۱۰۰۰
		سرعت دوران ابزار کار (rpm) ۱۲۰۰

شکل (۱۵): تغییرات استحکام نهایی نمونه‌های بدون ذرات تقویت کننده را در سرعت‌های دوران ابزار کار ۱۰۰۰ rpm، ۱۲۰۰ rpm و ۱۴۰۰ rpm در تعداد پاس احتلاط ۱ تا ۳ پاس نشان می‌دهد. با توجه به این شکل مشاهده می‌شود که با افزایش سرعت دوران تا ۱۲۰۰ rpm استحکام نهایی کششی جوش افزایش می‌یابد و در سرعت

سرعت دوران نسبت داد. این تحلیل با استدلال ارائه شده در دیگر مراجع متناسب است [۲۹].



شکل (۱۶): تغییرات چermگی فلز جوش با افزایش سرعت دوران و با افزایش تعداد پاس اختلاط برای نمونه‌های بدون نانو ذرات تقویت کننده آلومینا.

شکل (۱۷-الف)، تأثیر سرعت دوران ابزار جوش در نمودار تنش-کرنش، برای نمونه‌های عاری از نانو ذرات آلومینا در ناحیه جوش را نشان می‌دهد. با توجه به مطالب ارائه شده در قسمت‌های بالا، به علت ریز شدن بیشتر دانه‌ها در سرعت دوران ۱۲۰۰ rpm، بیشترین استحکام کششی در این سرعت دوران بدست‌آمده است. در شکل (۱۷-ب) تأثیر سرعت دوران ابزار جوش در نمودار تنش-کرنش در شرایط حضور نانو ذرات آلومینا در ناحیه جوش نشان داده شده است. تأثیر حضور نانو ذرات آلومینا در منطقه جوش در قفل‌سازی و عدم تحرک مرzedانه‌ها و در کاهش اندازه دانه‌ها، افزایش استحکام نهایی را در منطقه جوش سبب شده و به استناد مطالب ارائه شده در بالا، به علت ریزی بیشتر دانه‌ها در سرعت دوران ۱۲۰۰ rpm، بالاترین استحکام نهایی در این سرعت دوران حاصل شده است.

منطقه TMAZ بیان شده است [۲۷]. در هنگام اعمال نیرو به واسطه کمتر بودن فاکتور اشمید در ناحیه TMAZ نسبت به ناحیه SZ، تغییر شکل موضعی رخ داده در ناحیه SZ از SZ کمتر بوده و لذا ترک از نواحی با ناهمگونی در بافت کریستالی پیش روی می‌کند [۲۷].

شکل (۱۶) برای نمونه‌های بدون نانو ذرات تقویت کننده آلومینا، تغییرات چermگی فلز جوش را با افزایش سرعت دوران و با افزایش تعداد پاس اختلاط نشان می‌دهد. همان‌طور که انتظار می‌رود به دلیل افزایش کرنش و کاهش اندازه دانه‌ها در هر پاس اختلاط، در یک سرعت دوران معین با افزایش تعداد پاس اختلاط، چermگی افزایش یافته است. چermگی متأثر از اندازه دانه است و کاهش اندازه دانه در عین حال که افزایش نسبی سختی را باعث می‌شود، کاهش دمای انتقال از تردی به نرمی، افزایش شکل‌پذیری و افزایش تافنس را نیز به دنبال دارد، در مواد ریزدانه به علت افزایش یافتن سطح مرزدانه در واحد حجم، مواد برای رشد ترک افزایش یافته از طرفی با افزایش قابلیت شکل‌پذیری، حرکت ترک در محیط پلاستیک محدود و هر دو مورد افزایش تافنس را به دنبال خواهد داشت [۲۸]. همچنین با افزایش سرعت دوران از ۱۰۰۰ rpm به ۱۲۰۰ و سپس به ۱۴۰۰ rpm چermگی ابتدا افزایش و سپس کاهش یافته است که با توجه به نتایج جدول (۴)، نتیجه حاصل منطقی و بر این اساس سرعت دوران ۱۲۰۰ rpm به عنوان سرعت دوران بهینه برای چermگی پذیرفته شد. چermگی نمونه‌های حاوی نانو ذرات آلومینا در سرعت‌های دوران ۱۰۰۰ rpm و ۱۲۰۰ rpm نسبت به چermگی همین نمونه‌ها در حالت بدون نانو ذرات آلومینا به ترتیب ۱۸٪ کاهش و ۶۸٪ افزایش را نشان داد. بر مبنای نتایج ارائه شده در شکل (۱۳) با افزایش سرعت دوران، اندازه ذرات آگلومره شده آلومینا کاهش می‌یابند. کاهش چermگی نمونه حاوی ذرات تقویت کننده آلومینا در سرعت دوران ۱۰۰۰ rpm را می‌توان به درشتی اندازه دانه‌های آلومینا در این سرعت دوران و افزایش چermگی در سرعت دوران ۱۲۰۰ rpm را می‌توان به کاهش اندازه ذرات آگلومره شده و کاهش اندازه دانه در این

در این سرعت دوران به دست آمد با این توضیح که در نمونه‌های حاوی نانو ذرات آلومینا نسبت به نمونه‌های بدون نانو ذرات آلومینا، استحکام و سختی به میزان بیشتر افزایش یافت که این افزایش مقداری ناشی از ریزدانگی و مقداری به واسطه حضور ذرات تقویت‌کننده در ناحیه جوش است. در نمونه‌های عاری از نانو ذرات آلومینا، افزایش تعداد پاس اختلاط با اعمال کرنش‌های بیشتر باعث کاهش اندازه دانه‌ها و افزایش استحکام نهایی کششی شد ولی در نمونه‌های حاوی ذرات تقویت‌کننده آلومینا، افزایش تعداد پاس اختلاط تأثیر قابل توجه در اندازه دانه‌ها نداشت. در اثر اعمال تنش و کرنش‌های برشی در طی فرآیند، جوشکاری اصطکاکی-اغتشاشی، کاهش در شدت پیک‌های XRD ترکیب بین فلزی $\gamma\text{-Mg}$ اتفاق افتاد که به معنی انحلال دینامیکی ترکیب بین فلزی $\gamma\text{-Mg}$ است.

۵- سپاسگزاری

این مقاله بخشنامه کارشناسی ارشد یکی از دانشجویان و در راستای برنامه جامع تحقیقاتی نویسنده مسئول مقاله است. نویسنده‌گان مقاله از حمایت‌های مالی و معنوی دانشگاه یاسوج برای انجام پایان‌نامه مذکور و این پژوهش سپاسگزاری می‌کنند.

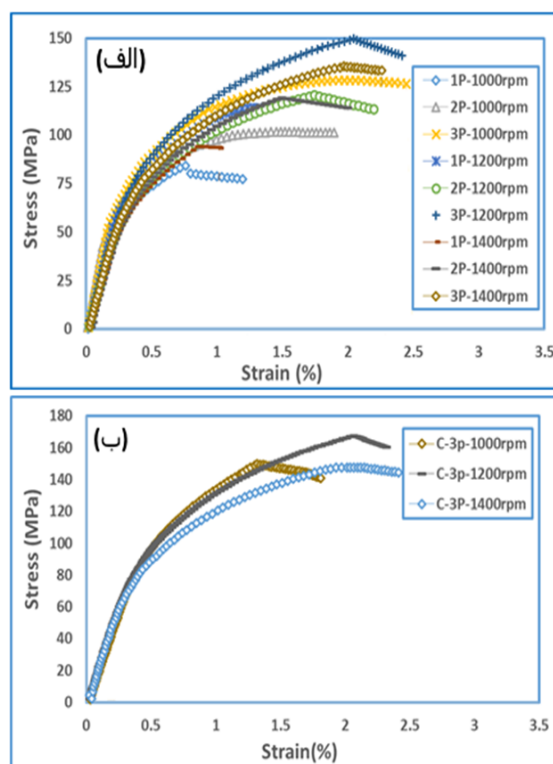
۶- مراجع

[1] M. K. Kulekci, "Magnesium and its alloys applications in automotive industry", Int J Adv Manuf Technol, vol. 39, pp. 851–865, 2008.

[2] P. L. Threadgill, A. J. Leonard, H. R. Shercliff & P. J. Withers, "Friction stir welding of aluminium alloys", International Materials Reviews, vol. 54, pp. 49-93, 2009.

[3] M. Gupta & S. N. M. Ling, "Magnesium, Magnesium Alloys, and Magnesium Composites", John Wiley & Sons, 2010.

[4] F. Chai, D. T. Zhang & Y. Y. Li, "Effect of rotation speeds on microstructures and tensile properties of submerged friction stir processed AZ31 magnesium alloy", Materials Research Innovations, vol. 18, pp. 152-156, 2014.



شکل (۱۷): تغییرات نمودار تنش - کرنش با تغییر سرعت دوران ابزار کار: (الف) برای نمونه‌های بدون نانو ذرات آلومینا و (ب) برای نمونه‌های حاوی نانو ذرات آلومینا.

۴- نتیجه‌گیری

در فرآیند جوشکاری اصطکاکی-اغتشاشی آلیاز منیزیم AW60 با افزایش سرعت دوران ابزار کار، کرنش اعمالی و گرما و دمای حاصل از اصطکاک ابزار کار با ماده، افزایش می‌یابد. افزایش کرنش باعث کاهش اندازه دانه‌ها و بر عکس افزایش دما باعث رشد دانه‌ها می‌شود. مشاهدات میکروسکوپی و اندازه‌گیری‌های انجام شده نشان داد، در نمونه جوش‌های حاوی ذرات آلومینا، با افزایش سرعت دوران ابزار کار و درنتیجه با افزایش تنش‌های اعمالی در حین عملیات جوشکاری، خورد شدگی و کاهش در اندازه ذرات آلومینای آگلومره شده اتفاق افتاده که منجر به بهبود چقرمگی شده است. هم در نمونه جوش‌های حاوی نانو ذرات آلومینا و هم در نمونه جوش‌های بدون ذرات آلومینا بیشترین کاهش در اندازه دانه‌ها در سرعت دوران ۱۲۰۰ rpm به دست آمد و در نتیجه بیشترین سختی در ناحیه SZ، بیشترین استحکام نهایی کششی و بیشترین چقرمگی نیز

- [14] P. Bassani1, E. Gariboldi & A. Tuissi, "Calorimetric analysis of AM60 magnesium alloy", *Journal of Thermal Analysis and Calorimetry*, vol. 80, pp.739–747. 2005.
- [15] U. F. Al-Qawabeha, "Effect of Heat Treatment on the Mechanical Properties, Microhardness, and Impact Energy of H13 Alloy Steel", *International Journal of Scientific & Engineering Research*, vol. 8, pp. 100-104, 2017.
- [16] M. Azizieh, M. Mazaheri, Z. Balak, H. Kafashan & H. S. Kim, "Fabrication of Mg/Al12Mg17 in-situ surface nanocomposite via friction stir processing", *Materials Science and Engineering A*, vol. 712, pp. 655-662, 2018.
- [17] M. S. Dargusch, K. Pettersen, K. Nogita, M. D. Nave, and G. L. Dunlop, "The effect of aluminium content on the mechanical properties and microstructure of die cast binary magnesium-aluminium alloys". *Materials Transactions*, vol. 47, pp. 977-982. 2006.
- [18] E. Aghion & B. Bronfin, "Magnesium Alloys Development towards the 21st Century". *Materials Science Forum*, vol. 350-351, pp. 19-30. 2000.
- [19] A. A. Luo, "Recent magnesium alloy development for elevated temperature applications", *International Materials Reviews*, vol. 49, pp. 13-30. 2004.
- [20] M. Easton, A. Beer, M. Barnett, C. Davies, G. Dunlop, Y. Durandet & et al., "Magnesium alloy applications in automotive structures". *JOM*, vol. 60, pp. 57. 2008.
- [21] S. Mironov, Y. Motohashi, R. Kaibyshev, H. Somekawa, T. Mukai, and K. Tsuzaki, "Development of fine-grained structure caused by friction stir welding process of a ZK60A magnesium alloy", *Materials Transactions*, vol. 50, pp. 610-617. 2009.
- [22] S. Chowdhury, D. Chen, S. Bhole, X. Cao & P. Wanjara, "Friction stir welded AZ31 magnesium alloy: microstructure, texture, and tensile properties", *Metallurgical and Materials Transactions A*, vol. 44, pp. 323-336, 2013.
- [23] S. H. Abdollahi, F. Karimzadeh, M. H. Enayati, "Development of surface composite based on Mg-Al-Ni system on AZ31 magnesium alloy and evaluation of formation mechanism", *Journal of Alloys and Compounds*, vol. 623, pp. 335–341, 2015.
- [5] ا. عبدالله زاده، ع. شکوه فر، ح. امیدوار، م. ع و صفرخانیان، م. ر. نادری، "تأثیر سرعت دورانی در جوشکاری اصطکاکی اختلاطی بر ریزساختار و خواص مکانیکی اتصال لبه روی هم آلیاز AA545"، فرآیندهای نوین در مهندسی مواد، سال ۱۰، شماره ۴، صفحه ۵۵-۷۱. ۱۳۹۵.
- [6] J. Zhang, K. Liu, G. Huang, K. Chen, D. Xia, B. Jiang, A. Tang & F. Pan, "Optimizing the mechanical properties of friction stir welded dissimilar joint of AM60 and AZ31 alloys by controlling deformation behavior", *Mater. Sci. Eng. A*, vol. 773, pp. 174-184. 2020.
- [7] J. Langari & F. Kolahan, "The effect of friction stir welding parameters on the microstructure, defects, and mechanical properties of AA7075-T651 aluminium alloy joints", *Scientia Iranica B*, vol. 24, pp. 2418-2430, 2019.
- [8] Y. Bai, H. Su & C. Wu, "Enhancement of the Al/Mg Dissimilar Friction Stir Welding Joint Strength with the Assistance of Ultrasonic Vibration", *Metals*, vol. 11, pp. 1-16. 2021.
- [9] X. C. Luo, D. T. Zhang, G. H. Cao, C. Qiu & D. L. Chen, "Multi-pass submerged friction stir processing of AZ61 magnesium alloy, Strengthening mechanisms and fracture behavior", *J. Mater. Sci.*, vol. 54, pp. 8640–8654, 2019.
- [10] X. Xiong, Y. Yang, J. Li, M. Li, J. Peng, C. Wen & X. Peng, "Research on the microstructure and properties of a multi-pass friction stir processed 6061Al coating for AZ31 Mg alloy", *J. Magnes. Alloys*, vol. 7, pp. 696–706, 2019.
- [11] Q. Shang, D. R. Ni, P. Xue, B. L. Xiao, K. S. Wang & Z. Y. Ma, "An approach to enhancement of Mg alloy joint performance by additional pass of friction stir processing", *J. Mater. Process. Technol.*, vol. 264, pp. 336–345. 2019.
- [12] A. R. Eivani, M. Mehdizade, S. Chabok, J. Zhou, "Applying multi-pass friction stir processing to refine the microstructure and enhance the strength, ductility and corrosion resistance of WE43 magnesium alloy", *J. Mater. Res. Technol.*, vol. 12, pp. 1946–1957, 2020.
- [13] S. Richmire, K. Hall & M. Haghshenas, "Design of experiment study on hardness variations in friction stir welding of AM60 Mg alloy", *Journal of Magnesium and Alloys*, vol. 6, pp. 215–228, 2018.

[28] M. Ohring, "How engineering materials are strengthened and toughened" Materials Science, 1995.

[29] G. Padmanaban, V. Balasubramanian & G. M. Reddy, "Fatigue crack growth behaviour of pulsed current gas tungsten arc, friction stir and laser beam welded AZ31B magnesium alloy joints", Journal of materials processing technology, vol. 211, pp. 1224-1233, 2011.

[24] B. W. Baker, E. S. K. Menon, T. R. Mcnelley, L. N. Brewer, B. El-Dasher, J. C. Farmer & et al., "Processing-microstructure relationships in friction stir welding of MA956 oxide dispersion strengthened steel", Metallurgical and Materials Transactions E, vol. 4, pp. 318-330, 2014.

[25] E. Horst & B. Mordike, "Magnesium technology. Metallurgy, design data, application", Springer-Verlag, Berlin Heidelberg, 2006.

[26] S. P. Kumar, M. Vigneshwar, S. T. Selvamani, A. S. Prakash & P. Hariprasath, "The Comparative Analysis on Friction Stir Welded and Gas Tungsten Arc Welded AZ91 Grade Magnesium Alloy Butt Joints", Materials Today, Proceedings vol. 4, pp. 6688-6696. 2017.

[27] L. Liu, G. Song, G. Liang & J. Wang, "Pore formation during hybrid laser-tungsten inert gas arc welding of magnesium alloy AZ31B—mechanism and remedy". Materials Science and Engineering A, vol. 390, pp. 76-80, 2005.

-۷ پی‌نوشت

- [1] Advancing side
- [2] Retreating side
- [3] Langari & Kolahan
- [4] Friction Stir Processing
- [5] Etchant
- [6] Planimetric
- [7] Stacking Fault Energy